

## طراحی سیستم هدایت مقاوم با استفاده از الگوریتم مد لغزشی مرتبه بالا برای تولید

### دستور شتاب هموار و مقابله با اهداف مانوردار

وحید بهنام گل<sup>۱</sup>، احمد رضا ولی<sup>۲</sup>، علی محمدی<sup>۳</sup>

<sup>۱</sup> دانشجوی دکتری مهندسی برق، گروه کنترل، دانشگاه صنعتی مالک اشتر، vahidbehnamgol@mut.ac.ir

<sup>۲</sup> دانشیار، مجتمع دانشگاهی برق و الکترونیک، گروه کنترل، دانشگاه صنعتی مالک اشتر، ar.vali@aut.ac.ir

<sup>۳</sup> استادیار، مجتمع دانشگاهی برق و الکترونیک، گروه کنترل، دانشگاه صنعتی مالک اشتر، ali\_mohammadi@yahoo.com

(تاریخ دریافت مقاله ۱۳۹۳/۲/۲۹، تاریخ پذیرش مقاله ۱۳۹۳/۶/۲۸)

**چکیده:** در این مقاله یک سیستم هدایت غیرخطی و مقاوم در مقابل مانورهای هدف طراحی شده است. برای این منظور ابتدا یک الگوریتم نوین مد لغزشی مرتبه بالا ارائه گردیده است. قانون هدایت طراحی شده توسط این الگوریتم دستور شتاب جانبی همواری را صادر کرده که برخورد با اهداف مانوردار را تضمین می کند. در این الگوریتم بر خلاف تئوری های مد لغزشی مرتبه بالای ارائه شده در مراجع برای طراحی قانون هدایت، پایداری سیستم حلقه بسته در حضور نامعینی تضمین می گردد و بنابراین نیازی به رویکردی برای تخمین مانورهای هدف نخواهد بود. برای طراحی قانون هدایت دو بعدی با استفاده از این الگوریتم، متغیر لغزشی بر اساس سرعت نسبی جانبی بین رهگیر و هدف تعریف شده است. قانون هدایت طراحی شده دستور شتابی را صادر می کند که تضمین کننده همگرایی این متغیر لغزش و برخورد با هدف می باشد. نتایج شبیه سازی برتری قانون هدایت پیشنهادی را در مقایسه با قوانین هدایت دیگر نشان می دهد.

**کلمات کلیدی:** سیستم هدایت، اهداف مانوردار، مد لغزشی مرتبه بالا، نامعینی، وزوز.

## Design of Robust Guidance System Using High Order Sliding Mode Algorithm for Producing Smooth Acceleration Command and Intercepting Maneuvering Targets

Vahid Behnamgol, Ahmad Reza Vali, Ali Mohammadi

**Abstract:** In this paper, a nonlinear and robust guidance system against target maneuvers has been designed. For this purpose, first a new high order sliding mode algorithm is proposed. The designed guidance law with this algorithm generates a smooth acceleration command that guarantees collision with target. In this algorithm, unlike previous high order sliding mode theories, the stability of close loop system in the presence of uncertainty is guaranteed, therefore the observer is not required for estimation of target maneuvers in the proposed guidance law. For designing two point guidance law using this algorithm, a sliding variable has been introduced using relative lateral velocity. Designed guidance law generates acceleration commands that guarantee convergence of sliding variable. Simulation results show the better performance of proposed guidance law in comparison with other guidance laws.

**Keywords:** guidance system, maneuvering targets, high order sliding mode, uncertainty, chattering.

## ۱- مقدمه

وظیفه قانون هدایت در رهگیرهای آشیانه یاب، تعیین دستور شتاب جانبی مناسب برای برخورد با هدف متحرک است. این دستور شتاب جانبی را می توان با ابزارهای مختلفی از جمله با تغییر در زاویه بالک های رهگیر اعمال نمود. یکی از اصول مورد استفاده برای طراحی قانون هدایت، ایده ی ناوبری موازی می باشد. طبق این ایده اگر خط دید بین رهگیر و هدف در فضا نچرخد و فاصله بین رهگیر و هدف در حال کم شدن باشد، برخورد با هدف تضمین می گردد. قوانین هدایتی که بر اساس این اصل طراحی می شوند دستور شتابی صادر می کنند که اعمال آن مانع از چرخیدن خط دید بین رهگیر و هدف در فضا می شود. به این دسته از قوانین، قوانین هدایت تناسبی گفته می شود. برای این منظور قوانین هدایت تناسبی حقیقی و محض بر پایه اصول ریاضی طراحی گردیده اند که برای برخورد با اهداف بدون مانور مناسب می باشند. برای رهگیری اهداف دارای مانور، ناوبری تناسبی افزوده پیشنهاد شده است که برای تعیین دستور شتاب جانبی رهگیر، نیازمند اندازه شتاب جانبی هدف می باشد [۱]، [۲].

اندازه گیری و یا تخمین شتاب جانبی هدف منجر به افزایش پیچیدگی و هزینه در سیستم هدایت می شود. از این رو قوانین هدایت مقاوم در مقابل مانورهای هدف طراحی گردیده اند. یکی از روش های مورد استفاده برای طراحی قانون هدایت تناسبی مقاوم در سال های اخیر، تئوری کنترل مد لغزشی می باشد. با استفاده از این تئوری می توان قانون هدایت غیرخطی و مقاومی را برای برخورد با اهداف مانوردار طراحی نمود. در صورت استفاده از این روش کنترلی می توان مانورهای هدف را به عنوان نامعینی در نظر گرفت و قانون هدایت را طراحی نمود که در این صورت نیازی به اندازه گیری و یا تخمین دقیق مانورهای هدف نمی باشد [۳]. بزرگترین نقص کاربردی این روش کنترلی، پدیده ی چترینگ (لرزش یا نوسانات ناخواسته) می باشد که به دلیل وجود تابع علامت در کنترل کننده رخ می دهد. اثرات این پدیده بسیار نامطلوب بوده، چون باعث فعالیت نوسانی شدید در سیگنال کنترل شده و از آنجا که دارای یک رفتار فرکانس بالا می باشد، ممکن است دینامیک های مدل نشده ی فرکانس بالا را نیز تحریک کند. این معایب کارایی سیستم را کاهش داده و ممکن است به ناپایداری منجر شود. پس لازم است وزوز هموار و یا حذف گردد [۴]، [۵].

یکی از روش های پر کاربرد برای کاهش نوسانات ناخواسته، هموار کردن ناپیوستگی کنترل در یک لایه ی مرزی باریک در همسایگی سطح لغزش، بوسیله ی تقریب پیوسته از کنترل مد لغزشی ناپیوسته می باشد [۴]. استفاده از روش تقریب پیوسته اگرچه باعث تولید سیگنال کنترلی همواری شده اما منجر به کاهش دقت کنترلی می شود. در مراجع [۳]، [۶] - [۹] از کنترل مد لغزشی مرتبه اول و البته تقریب پیوسته این روش برای طراحی قانون هدایت استفاده شده است. در مرجع [۳] دستور شتاب در راستای عمود بر بردار سرعت رهگیر با استفاده از تئوری مد لغزشی

مرتبه اول تقریب زده شده طراحی شده است. در [۶] به روشی مشابه، دستور شتاب در راستای عمود بر خط دید طراحی شده است. اعمال دستور شتاب در این راستا در عمل بسیار مشکل است. در این مرجع همچنین دینامیک مرتبه اول حلقه کنترل در حین طراحی قانون هدایت در نظر گرفته شده است. در مرجع [۷] از مد لغزشی تطبیقی برای طراحی قانون هدایت استفاده نموده و در مراجع [۸] و [۹] قانون هدایت برای برخورد با زاویه معین طراحی شده است.

در مراجع فوق به دلیل تقریب صورت گرفته در قوانین هدایت، دقت کاهش می یابد. از دیگر روش های پر کاربرد برای حذف نوسانات ناخواسته بدون کاهش دقت، استفاده از تئوری مد لغزشی مرتبه بالا می باشد. با استفاده از این روش، بدون کاهش دقت از رخ دادن نوسان در ورودی کنترل جلوگیری می شود. در کل برای طراحی مد لغزشی مرتبه ۲ به ۱-۲ امین مشتق متغیر لغزش نیاز است [۱۰]، [۱۱]. بنابراین برای پیاده سازی مد لغزشی مرتبه دوم مشتق اول متغیر لغزش نیز مورد استفاده قرار می گیرد. اصول طراحی مد لغزشی مرتبه دوم در مراجع [۱۲]، [۱۳] و [۱۴] ارائه شده است.

برای طراحی و پیاده سازی مد لغزشی مرتبه بالا نیاز به مشتقات متغیر لغزش بوده که افزایش تقاضای اطلاعات را به همراه خواهد داشت. تنها استثنای موجود الگوریتم فرایچس است که از تئوری های مهم و کاربردی مد لغزشی مرتبه دوم می باشد. این الگوریتم تنها به خود متغیر لغزش برای تولید سیگنال کنترل نیاز دارد. اصول طراحی این روش کنترلی و انواع اصلاح شده ی آن در مراجع [۱۵]، [۱۶] و [۱۷] ارائه شده است. در مراجع [۱۸] و [۱۹] نیز از انواع اصلاح شده ی این الگوریتم برای طراحی قانون هدایت استفاده گردیده است. یکی از معایب این تئوری و اکثر الگوریتم های مد لغزشی مرتبه بالا اثبات پایداری بدون در نظر گرفتن نامعینی می باشد. در مرجع [۱۸] برای در نظر گرفتن نامعینی از رویکر استفاده نموده و پایداری الگوریتم ارائه شده در آن با استفاده از تئوری سیستم های همگن به اثبات رسیده است. در مرجع [۱۹] الگوریتم ارائه شده در مقابل نامعینی های کوچک پایداری را تضمین می کند. پایداری این الگوریتم نیز با استفاده از روش لیاپانوف اثبات شده است. در قوانین هدایت طراحی شده در این مراجع رابطه ای بین کران بالای نامعینی و بهره های کنترلی وجود نداشته و برای هر نوع مانور هدف باید بهره های کنترلی تنظیم گردند.

در این مقاله ابتدا الگوریتم نوینی از مد لغزشی مرتبه بالا برای کنترل سیستم های غیرخطی نامعین ارائه می گردد. این الگوریتم تنها به متغیر لغزش نیاز داشته و به مشتقات بالاتر آن وابسته نیست. پایداری روش پیشنهادی در حضور نامعینی با استفاده از تئوری لیاپانوف اثبات گردیده و سپس از این الگوریتم برای طراحی قانون هدایت دو بعدی استفاده می شود. در نهایت کارایی قانون هدایت طراحی شده در شبیه سازی غیرخطی حلقه هدایت مورد ارزیابی قرار می گیرد. در قانون هدایت طراحی شده در این مقاله پدیده وزوز رخ نداده و بنابراین بر خلاف قانون

$\dot{R}$  بیانگر اختلاف سرعت‌های رهگیر و هدف در راستای خط دید می‌باشد که از تفریق مولفه‌های بردار سرعت آنها در راستای خط دید بصورت رابطه (۱) بدست می‌آید:

$$\dot{R} = V_t \cos(\gamma_t - \lambda) - V_m \cos(\gamma_m - \lambda) \quad (1)$$

همچنین سرعت نسبی جانبی بین رهگیر و هدف ( $R\dot{\lambda}$ ) که بیانگر اختلاف سرعت رهگیر و هدف در راستای عمود بر خط دید می‌باشد، از تفریق مولفه‌های سرعت آنها در راستای عمود بر خط دید بصورت رابطه (۲) بدست می‌آید.

$$R\dot{\lambda} = V_t \sin(\gamma_t - \lambda) - V_m \sin(\gamma_m - \lambda) \quad (2)$$

که در آن،  $\dot{\lambda}$  نرخ چرخش خط دید می‌باشد. روابط بین بردار سرعت، سرعت زاویه‌ای بردار سرعت و شتاب جانبی رهگیر و هدف بصورت روابط (۳) و (۴) می‌باشد:

$$A_m = V_m \dot{\gamma}_m \quad (3)$$

$$A_t = V_t \dot{\gamma}_t \quad (4)$$

در این روابط  $\dot{\gamma}_m$  و  $\dot{\gamma}_t$  به ترتیب سرعت زاویه‌ای بردار سرعت رهگیر و هدف و  $A_m$  و  $A_t$  شتاب‌های جانبی رهگیر و هدف می‌باشند [۳-۱]. معادلات (۱) تا (۴) بیانگر سینماتیک نسبی دوبعدی بوده که ارتباط بین زاویه خط دید و برد نسبی را با شتاب‌های جانبی رهگیر و هدف نشان می‌دهد. با توجه به رابطه (۳) تغییر در شتاب جانبی رهگیر منجر به تغییر در سرعت زاویه‌ای بردار سرعت شده که این متغیر در تغییرات برد نسبی و زاویه خط دید موثر است. به همین ترتیب شتاب جانبی هدف بر متغیرهای سینماتیک نسبی تاثیر می‌گذارد.

شتاب جانبی رهگیر به عنوان ورودی کنترل فرض شده و سیستم کنترل نیز به عنوان یک محرک برای اعمال این ورودی می‌باشد. سیستم کنترل خود دارای اجزای مختلف و پیچیده‌ای بوده و در این مقاله تنها دینامیک تقریبی مرتبه اول و پایدار شده آن در نظر گرفته می‌شود. بنابراین فرض می‌شود دستورات سیستم هدایت با یک ثابت زمانی مشخص اعمال شود.

در صورتی که در بخش سیستم هدایت در شکل ۱ از قانون هدایت ناوبری تناسبی حقیقی استفاده گردد، دستور شتاب جانبی رهگیر به صورت زیر محاسبه می‌شود:

$$A_c = \frac{1}{\cos(\gamma_m - \lambda)} (NV_c \dot{\lambda}), \quad V_c = -\dot{R} \quad (5)$$

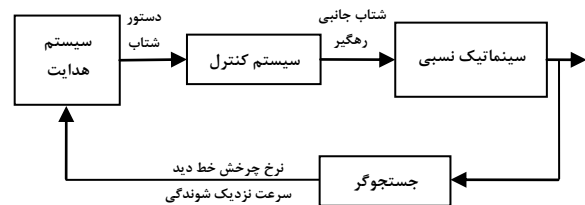
اگر سیستم کنترل قادر به اعمال این دستور شتاب باشد، نرخ چرخش خط دید صفر شده و برخورد با اهداف بدون مانور تضمین می‌گردد. برای رهگیری اهداف مانوردار، از ناوبری تناسبی افزوده استفاده می‌شود که دستور شتاب جانبی آن به صورت زیر است.

هدایت طراحی شده در مرجع [۳] از تقریب پیوسته استفاده نشده و دقت کاهش نخواهد یافت. همچنین روش پیشنهادی در مقابل انواع مانورهای هدف مقاوم بوده و در آن برخلاف روش پیشنهاد شده در مرجع [۱۹] نیازی به تنظیم مجدد بهره‌های کنترلی با تغییر مانور هدف نیست.

## ۲- فرمول بندی مسئله

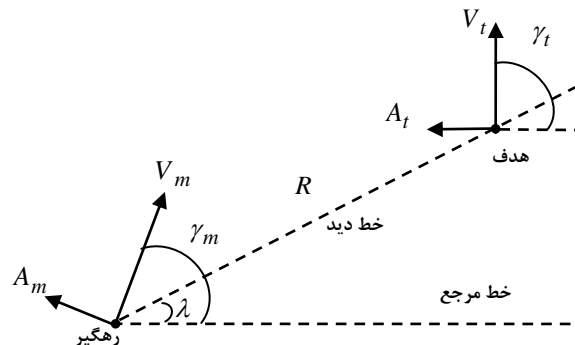
۱-۲ سینماتیک نسبی بین رهگیر و هدف

در این مقاله حلقه هدایت آشیانه‌یاب در فاز نهایی به صورت شکل ۱ در نظر گرفته می‌شود. با توجه در این دیاگرام بلوکی، جستجوگری راداری اطلاعات نسبی سینماتیک درگیری از قبیل نرخ چرخش خط دید و سرعت نزدیک شونده‌گی رهگیر به هدف را اندازه‌گیری کرده و در اختیار سیستم هدایت قرار می‌دهد. سیستم هدایت نیز که بر اساس اصل ناوبری موازی عمل می‌کند، با استفاده از نرخ چرخش خط دید و سرعت نزدیک شونده‌گی، دستور شتاب جانبی مناسب برای برخورد با هدف را صادر می‌کند. اگر این دستور شتاب توسط سیستم کنترل به رهگیر اعمال شود، خط دید نچرخیده و برخورد حتمی خواهد بود.



شکل ۱: دیاگرام بلوکی حلقه هدایت در فاز نهایی

هندسه‌ی دو درگیری دو بعدی را می‌توان همانند شکل ۲ در نظر گرفت. در این شکل،  $R$  برد نسبی بین رهگیر و هدف و  $\lambda$  زاویه‌ی بین خط دید و خط مرجع بوده که بیانگر مختصات نسبی رهگیر و هدف در دستگاه قطبی می‌باشند. همچنین  $\gamma_m$  زاویه‌ی بردار سرعت رهگیر با خط مرجع،  $\gamma_t$  زاویه‌ی بردار سرعت هدف با خط مرجع،  $A_m$  بردار شتاب جانبی رهگیر و  $A_t$  بردار شتاب جانبی هدف می‌باشد.



شکل ۲: سینماتیک نسبی رهگیر و هدف در مختصات دو بعدی

$$t_r \leq \frac{|S(0)|}{\eta} \quad (12)$$

مدت زمان همگرایی متغیر لغزش است. همانطور که در این رابطه مشاهده می شود، مدت زمان صفر شدن متغیر لغزش با تغییر مقدار پارامتر  $\eta$  قابل تنظیم است. حال برای برقراری شرط (۱۱) داریم:

$$\dot{V} = S[f_{um} + f_{nom} + u + f_1(x)] \leq -\eta|S| \quad (13)$$

برای برقراری (۱۳)، کنترل کننده مد لغزشی به صورت:

$$u = u_{eq} + u_r \quad (14)$$

تعریف می گردد که در آن  $u_{eq}$  کنترل معادل بوده برای حذف جملات معین در رابطه (۱۳) به صورت زیر تعیین می شود:

$$u_{eq} = -f_{nom} - f_1(x) \quad (15)$$

با جایگذاری روابط (۱۴) و (۱۵) در (۱۳) داریم:

$$f_{um} \frac{S(t)}{|S(t)|} + u_r \frac{S(t)}{|S(t)|} + \eta \leq 0 \quad (16)$$

برای برقراری (۱۶)، بخش رسانندهی کنترل مد لغزشی به صورت:

$$u_r = -(\eta + \alpha) \text{Sgn}(S) \quad (17)$$

تعریف می شود که در آن  $\alpha$  بیشینه اندازه بخش نامعین  $f(x)$  می باشد. با اعمال کنترل کننده رابطه (۱۷) به سیستم (۷) تضمین می شود که متغیر لغزش در مدت زمان محدودی که از رابطه (۱۲) تعیین می شود، به صفر رسیده و بعد از آن متغیرهای حالت به صورت نمایی همگرا شوند. ورودی کنترل طراحی شده در رابطه (۱۷) شامل تابع علامت بوده و وجود این تابع منجر به نوسان در ورودی کنترل می شود.

یکی از روش های هموار کردن چترینگ، روش تقریب پیوسته می باشد که کاربرد بیشتری نسبت به روش های دیگر دارد. در این روش تابع ناپیوسته ی علامت با تابع اشباع جایگزین می شود. بنابراین بخش رساننده ورودی کنترل در عمل به صورت رابطه زیر به کار برده می شود:

$$u_r = -(\eta + \alpha) \text{Sat}\left(\frac{S}{\phi}\right) \quad (18)$$

که در آن  $\phi$  تعیین کننده ی پهنای لایه ی مرزی است. روش تقریب پیوسته اگرچه باعث هموار شدن سیگنال کنترلی می شود اما منجر به کاهش دقت در رساندن متغیر لغزش به صفر خواهد شد [۴]، [۵].

استفاده از مد لغزشی مرتبه بالا یکی دیگر از روش های حذف وزوز در کنترل مد لغزشی می باشد. این روش با حفظ مزیت اصلی روش استاندارد (مقاوم بودن)، اثر وزوز را نیز حذف می کند. ایده ی اصلی در کنترل مد لغزشی مرتبه دوم رساندن  $S$  و  $\dot{S}$  به صفر می باشد. مسیرهای سیستم در صفحه ی  $S-\dot{S}$  در کنترل مد لغزشی مرتبه اول در شکل (۳) رسم گردیده است.

$$A_c = \frac{1}{\cos(\gamma_m - \lambda)} (NV_c \dot{\sigma} + \hat{A}_{r,\lambda}) \quad (6)$$

که در آن  $\hat{A}_{r,\lambda}$  شتاب جانبی هدف در راستای عمود بر خط دید است. همانطور که در رابطه (۶) مشاهده می گردد برای پیاده سازی این قانون هدایت نیاز به تخمین شتاب جانبی هدف می باشد. در این مقاله دستور شتاب به عنوان ورودی کنترل فرض شده و با استفاده از تئوری مد لغزشی طوری تعیین می شود که سرعت نسبی جانبی و نرخ چرخش خط دید در حضور مانورهای هدف صفر شود. در این روند مانور هدف به صورت نامعینی فرض می شود و نیازی به تخمین و یا اندازه گیری آن نمی باشد.

## ۲-۲ تئوری کنترل مد لغزشی

سیستم دینامیکی تک ورودی - تک خروجی زیر را در نظر بگیرید:

$$\dot{x}^{(n)} = f(x) + u \quad (7)$$

$x$  خروجی مورد نظر و  $u$  ورودی کنترل می باشد. همچنین  $f(x) = f_{um} + f_{nom}$  تابع غیرخطی بوده که در آن  $f_{nom}$  بخش معین و  $f_{um}$  بخش نامعین تابع است. هدف کنترلی رساندن  $x$  به مقدار مطلوب بوده و برای این منظور طبق تئوری کنترل مد لغزشی، متغیر لغزش  $S$  بر اساس خطای ردیابی سیستم بصورت زیر تعریف می شود:

$$S = \left(\frac{d}{dt} + c\right) \tilde{x}^{(n-1)} = \tilde{x}^{(n-1)} + \dots + c^{n-1} \tilde{x} \quad (8)$$

$c$  ضریب وزن دهی خطای متغیرهای حالت و  $\tilde{x}$  اختلاف متغیر حالت  $x$  از مقدار مطلوب به صورت  $\tilde{x} = x - x_d$  تعریف می شود. بنابراین مسئله ی ردیابی معادل  $S=0$  می باشد. با مشتق گیری از متغیر لغزش داریم:

$$\begin{aligned} \dot{S} &= \tilde{x}^{(n)} + \dots + c^n \tilde{x} = \\ x^{(n)} - x_d^{(n)} + \dots + c^n (x - x_d) &= \\ f(x) + u - x_d^{(n)} + \dots + c^n (x - x_d) &= \\ f_{um} + f_{nom} + u + f_1(x) \end{aligned} \quad (9)$$

که در آن  $f_1(x) = -x_d^{(n)} + \dots + c^n (x - x_d)$  می باشد. برای تضمین پایداری متغیر لغزش با استفاده از تئوری پایداری لیاپانوف، ابتدا تابع کاندید لیاپانوف به صورت زیر در نظر گرفته می شود:

$$V = \frac{1}{2} S^2 \quad (10)$$

که یک تابع مثبت معین است. طبق تئوری پایداری لیاپانوف اگر مشتق این تابع منفی معین باشد،  $S=0$  پایدار مجانبی خواهد بود. اما در تئوری کنترل مد لغزشی برای تضمین همگرایی زمان محدود متغیر لغزش، شرط لغزش زیر باید برقرار شود:

$$\dot{V} = S\dot{S} \leq -\eta|S| \quad (11)$$

$\eta$  یک ثابت مثبت می باشد. با انتگرال گیری از طرفین شرط لغزش داریم:

$$\begin{aligned} \dot{V} &= k_2 \text{Sgn}(S) \dot{S} + \dot{\xi} \xi = \\ &-k_1 k_2 |S|^\rho + k_2 \text{Sgn}(S) \xi - k_2 \text{Sgn}(S) \xi = \\ &-k_1 k_2 |S|^\rho \end{aligned} \quad (23)$$

بنابراین مشتق این تابع لیاپانوف به ازای  $k_1 k_2 > 0$  نیمه منفی معین بوده و سیستم (۲۱) پایدار است و البته پایداری مجانبی این سیستم نیز با استفاده از قضیه لاسال به سادگی اثبات می‌گردد. بنابراین همگرایی  $S$  و  $\xi$  تضمین خواهد شد [۱۸]، [۱۰]، [۱۸].

ورودی کنترل طراحی شده توسط الگوریتم فرایپچش کاملاً هموار نمی‌باشد. نوع اصلاح شده‌ی این الگوریتم برای تولید سیگنال کنترلی هموارتر به صورت زیر است [۱۸]، [۱۹]:

$$\begin{aligned} u_r &= -k_1 |S|^{\rho_1} \text{Sgn}(S) + u_1, \quad 0 < \rho_1, \rho_2 < 1 \\ \dot{u}_1 &= -k_2 |S|^{\rho_2} \text{Sgn}(S) \end{aligned} \quad (24)$$

در مراجع [۱۸]، [۱۹] پایداری این روش بدون در نظر گرفتن نامعینی با استفاده از تئوری‌های سیستم‌های همگن و لیاپانوف اثبات شده است.

### ۳- الگوریتم نوین مد لغزشی مرتبه بالا

در این بخش نوع جدیدی از الگوریتم مد لغزشی مرتبه بالا برای تضمین پایداری سیستم غیرخطی در حضور نامعینی ارائه می‌گردد. این الگوریتم به صورت قضیه زیر بیان می‌شود:

**قضیه ۱-** پایداری سیستم غیرخطی و نامعین (۶) با استفاده از ورودی کنترل (۲۵) تضمین خواهد شد که در آن  $k_1, k_2, k_3$  ثابت‌هایی مثبت بوده و  $\alpha$  کران بالایی نامعینی می‌باشد.

$$\begin{aligned} u &= u_{eq} - k_1 |S|^{\rho_1} \text{Sgn}(S) - k_2 \xi_1 - k_3 \xi_2 \\ \dot{\xi}_1 &= |S|^{\rho_2} \text{Sgn}(S) \\ \dot{\xi}_2 &= |\xi_2| |S|^{\rho_2} \text{Sgn}(S) - \alpha \text{Sgn}(\xi_2) |S|^{\rho_2} k_3^{-1} \end{aligned} \quad (25)$$

**اثبات-** با قرار دادن رابطه‌ی (۲۵) در (۹) داریم:

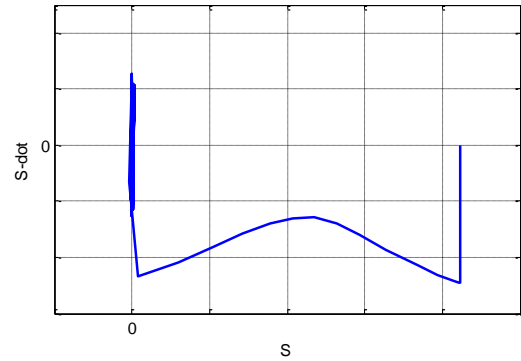
$$\dot{S} = -k_1 |S|^{\rho_1} \text{Sgn}(S) - k_2 \xi_1 - k_2 \xi_2 + f_{im} \quad (26)$$

روابط (۲۶) و (۲۵) را می‌توان به فرم فضای حالت زیر در نظر گرفت:

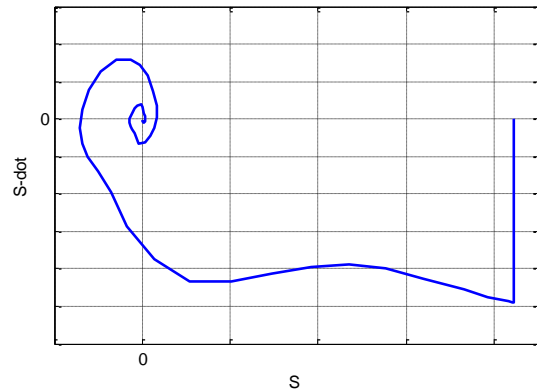
$$\begin{aligned} \dot{S} &= -k_1 |S|^{\rho_1} \text{Sgn}(S) - k_2 \xi_1 - k_2 \xi_2 + f_{im} \\ \dot{\xi}_1 &= |S|^{\rho_2} \text{Sgn}(S) \\ \dot{\xi}_2 &= |\xi_2| |S|^{\rho_2} \text{Sgn}(S) - \alpha \text{Sgn}(\xi_2) |S|^{\rho_2} k_3^{-1} \end{aligned} \quad (27)$$

برای بررسی پایداری رابطه (۲۷) تابع کاندیدای لیاپانوف به صورت رابطه (۲۸) در نظر گرفته می‌شود.

$$V = \int_0^S |\tau_1|^{\rho_2} \text{Sgn}(\tau_1) d\tau_1 + \frac{k_2}{2} \xi_1^2 + k_3 \int_0^{\xi_2} \text{Sgn}(\tau_2) d\tau_2 \quad (28)$$



شکل ۳: مسیر سیستم در صفحه‌ی  $S - \dot{S}$  در کنترل مد لغزشی مرتبه اول در مد لغزشی مرتبه دوم باید علاوه بر صفر شدن متغیر لغزش، مشتق متغیر لغزش نیز صفر شود. به عبارت دیگر مسیرهای سیستم در صفحه‌ی  $S - \dot{S}$  به نقطه‌ی تعادل  $S = \dot{S} = 0$  همگرا شوند (شکل ۴).



شکل ۴: مسیر سیستم در صفحه‌ی  $S - \dot{S}$  در کنترل مد لغزشی مرتبه دوم بخش رساننده در الگوریتم فرایپچش که برای کنترل سیستم‌هایی با درجه‌ی نسبی یک و به منظور جلوگیری از رخ دادن وزوز در ورودی کنترل توسعه داده شده است، به صورت زیر می‌باشد:

$$\begin{aligned} u_r &= -k_1 |S|^\rho \text{Sgn}(S) + u_1, \quad 0 < \rho < 1 \\ \dot{u}_1 &= -k_2 \text{Sgn}(S) \end{aligned} \quad (19)$$

با قرار دادن رابطه‌ی (۱۹) و (۱۴) در (۹) داریم:

$$\dot{S} = f_{im} - k_1 |S|^\rho \text{Sgn}(S) - k_2 \int \text{Sgn}(S) d\tau \quad (20)$$

بدون در نظر گرفتن نامعینی، رابطه (۲۰) را می‌توان به فرم فضای حالت مرتبه دوم زیر در نظر گرفت:

$$\begin{aligned} \dot{S} &= -k_1 |S|^\rho \text{Sgn}(S) + \xi \\ \dot{\xi} &= -k_2 \text{Sgn}(S) \end{aligned} \quad (21)$$

برای بررسی پایداری سیستم (۲۱) تابع کاندیدای لیاپانوف به صورت رابطه (۲۲) در نظر گرفته می‌شود.

$$V = k_2 \int_0^S \text{Sgn}(\tau) d\tau + \frac{1}{2} \xi^2 \quad (22)$$

مشتق این تابع لیاپانوف به صورت زیر است:

برای بررسی پایداری سیستم (۳۴) تابع کاندید لیپانوف به صورت رابطه (۲۸) در نظر گرفته می‌شود. مشتق این تابع لیپانوف به صورت رابطه (۳۵) است:

$$\begin{aligned} \dot{V} = & \\ -k_1 |S|^{\rho_1 + \rho_2} + A_t \cos(\gamma_t - \sigma) |S|^{\rho_2} Sgn(S) - \alpha |S|^{\rho_2} \leq & \quad (35) \\ -k_1 |S|^{\rho_1 + \rho_2} - \alpha |S|^{\rho_2} - \alpha |S|^{\rho_2} = -k_1 |S|^{\rho_1 + \rho_2} & \end{aligned}$$

همانطور که مشاهده می‌گردد، مشتق این تابع لیپانوف به ازای  $k_1 > 0$  نیمه منفی معین بوده و سیستم (۳-۶۷) پایدار است. پایداری مجانبی این سیستم نیز با استفاده از قضیه لاسال قابل اثبات است. بنابراین سیستم پایدار مجانبی بوده و سرعت نسبی جانبی به صفر همگرا خواهد شد. در نهایت قانون هدایت بصورت زیر بدست می‌آید:

$$\begin{aligned} A_c = \frac{1}{\cos(\gamma_m - \lambda)} \left( -\dot{R}\dot{\lambda} + k_1 |R\dot{\lambda}|^{\rho_1} Sgn(R\dot{\lambda}) + k_2 \xi_1 + k_3 \xi_2 \right) & \\ \xi_1 = |R\dot{\lambda}|^{\rho_2} Sgn(R\dot{\lambda}) & \quad (36) \\ \xi_2 = |\xi_2| |R\dot{\lambda}|^{\rho_2} Sgn(R\dot{\lambda}) - \alpha Sgn(\xi_2) |R\dot{\lambda}|^{\rho_2} k_3^{-1} & \end{aligned}$$

جمله اول قانون هدایت (۳۶) مشابه با ناوبری تناسبی حقیقی بوده و جملات دیگر نقش تخمین مانور هدف را دارند. این قانون هدایت همانند ناوبری تناسبی افزوده و البته بدون نیاز به اندازه‌گیری و یا تخمین مانور هدف قادر به صفر کردن سرعت نسبی جانبی و نرخ چرخش خط دید بوده و مقاومت خوبی در برابر اهداف مانوردار خواهد داشت. برای پیاده سازی این قانون هدایت اطلاعاتی از قبیل زاویه و نرخ چرخش خط دید، برد نسبی و سرعت نزدیک شونده مورد نیاز است که این اطلاعات می‌تواند توسط یک جستجوگر راداری طوقه دار فراهم گردند. همچنین زاویه بردار سرعت نیز مورد نیاز بوده که می‌تواند توسط حسگرهای ناوبری رهگیر فراهم شود.

### ۵- نتایج شبیه‌سازی

در این بخش عملکرد قانون هدایت طراحی شده بررسی می‌شود. در تمامی شبیه‌سازی‌ها، فاصله‌ی نسبی اولیه ۴۰ کیلومتر، سرعت‌های رهگیر و هدف به ترتیب ۸۰۰ و ۷۰۰ متر بر ثانیه، زاویه خط دید اولیه صفر درجه، زوایای اولیه بردارهای سرعت رهگیر و هدف به ترتیب ۳۰ و ۱۵۰ درجه، مکان اولیه‌ی رهگیر  $R_{m0} = [0 \ 0]^T m$  و مکان اولیه‌ی هدف  $R_{t0} = [40000 \ 0]^T m$  در نظر گرفته می‌شوند. همچنین ثابت زمانی دینامیک مرتبه اول سیستم کنترل ۰,۲ ثانیه فرض می‌شود.

قانون هدایت پیشنهادی با قوانین هدایت ناوبری تناسبی افزوده و هدایت مد لغزشی تقریب زده شده مقایسه می‌گردد. دستور شتاب در ناوبری تناسبی افزوده به صورت رابطه (۶) بوده که علاوه بر نرخ چرخش خط دید و سرعت نزدیک شونده‌ی، به تخمین شتاب جانبی هدف در راستای عمود بر خط دید نیز نیاز دارد. فرض می‌شود این متغیر نیز قابل

این تابع لیپانوف به ازای  $k_2, k_3 > 0$  مثبت معین می‌باشد. مشتق این تابع لیپانوف به صورت زیر است:

$$\begin{aligned} \dot{V} = & |S|^{\rho_2} Sgn(S) \dot{S} + k_2 \xi_1 \dot{\xi}_1 + k_3 Sgn(\xi_2) \dot{\xi}_2 = \\ & |S|^{\rho_2} Sgn(S) \left( -k_1 |S|^{\rho_1} Sgn(S) - k_2 \xi_1 - k_2 \xi_2 + f_{um} \right) + \\ & k_2 \xi_1 \left( |S|^{\rho_2} Sgn(S) \right) + \\ & k_3 Sgn(\xi_2) \left( |\xi_2| |S|^{\rho_2} Sgn(S) - \alpha Sgn(\xi_2) |S|^{\rho_2} k_3^{-1} \right) = \\ & -k_1 |S|^{\rho_1 + \rho_2} + f_{um} |S|^{\rho_2} Sgn(S) - \alpha |S|^{\rho_2} \leq \\ & -k_1 |S|^{\rho_1 + \rho_2} - \alpha |S|^{\rho_2} - \alpha |S|^{\rho_2} = -k_1 |S|^{\rho_1 + \rho_2} \end{aligned} \quad (29)$$

مشتق این تابع لیپانوف به ازای  $k_1 > 0$  نیمه منفی معین بوده و (۲۷) پایدار است. پایداری مجانبی این سیستم را نیز می‌توان با استفاده از قضیه لاسال اثبات نمود. بنابراین  $(S, \xi_1, \xi_2)$  به صفر همگرا خواهند شد.

### ۴- طراحی قانون هدایت

برای طراحی قانون هدایت با استفاده از الگوریتم مد لغزشی پیشنهادی، ابتدا متغیر لغزش با توجه به ایده ناوبری موازی برای صفر کردن سرعت نسبی جانبی بصورت زیر تعریف می‌شود:

$$S = R\dot{\lambda} \quad (30)$$

با طراحی ورودی کنترل اگر  $S = 0$  برقرار شود، اختلاف سرعت-های رهگیر و هدف در راستای عمود بر خط دید صفر بوده و خط دید نخواهد چرخید. در این صورت طبق ایده‌ی ناوبری موازی برخورد حتمی خواهد بود [۱۹]. دینامیک این متغیر لغزش به صورت زیر است:

$$\dot{S} = -\dot{R}\dot{\lambda} - A_m \cos(\gamma_m - \lambda) + A_t \cos(\gamma_t - \lambda) \quad (31)$$

طبق تئوری پیشنهادی در قضیه (۱) قانون هدایت برای تضمین پایداری متغیر لغزش به صورت زیر خواهد بود:

$$\begin{aligned} A_m = \frac{1}{\cos(\gamma_m - \lambda)} \left( -\dot{R}\dot{\lambda} + k_1 |S|^{\rho_1} Sgn(S) + k_2 \xi_1 + k_3 \xi_2 \right) & \\ \xi_1 = |S|^{\rho_2} Sgn(S) & \quad (32) \\ \xi_2 = |\xi_2| |S|^{\rho_2} Sgn(S) - \alpha Sgn(\xi_2) |S|^{\rho_2} k_3^{-1} & \end{aligned}$$

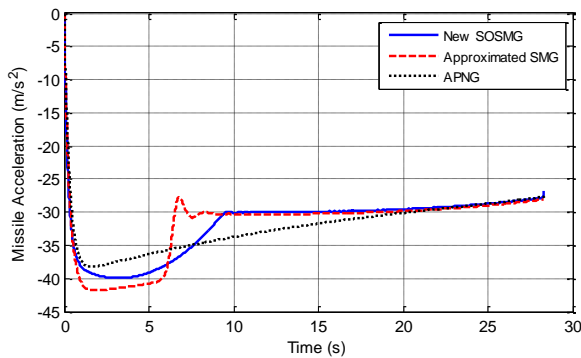
که در آن  $\alpha$  کران بالای شتاب هدف می‌باشد. با قرار دادن رابطه‌ی (۳۲) در (۳۱) داریم:

$$\dot{S} = -k_1 |S|^{\rho_1} Sgn(S) - k_2 \xi_1 - k_2 \xi_2 + A_t \cos(\gamma_t - \sigma) \quad (33)$$

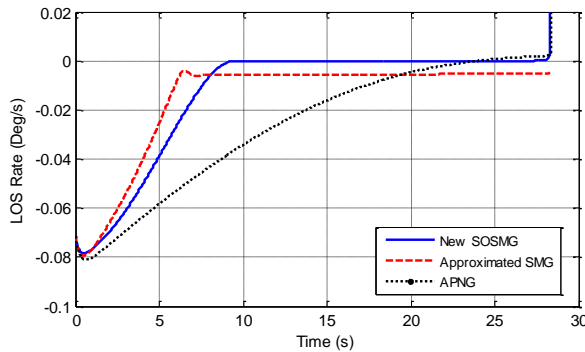
رابطه (۳۳) را می‌توان به فرم فضای حالت زیر در نظر گرفت:

$$\begin{aligned} \dot{S} = & -k_1 |S|^{\rho_1} Sgn(S) - k_2 \xi_1 - k_2 \xi_2 + A_t \cos(\gamma_t - \sigma) \\ \dot{\xi}_1 = & |S|^{\rho_2} Sgn(S) \\ \dot{\xi}_2 = & |\xi_2| |S|^{\rho_2} Sgn(S) - \alpha Sgn(\xi_2) |S|^{\rho_2} k_3^{-1} \end{aligned} \quad (34)$$

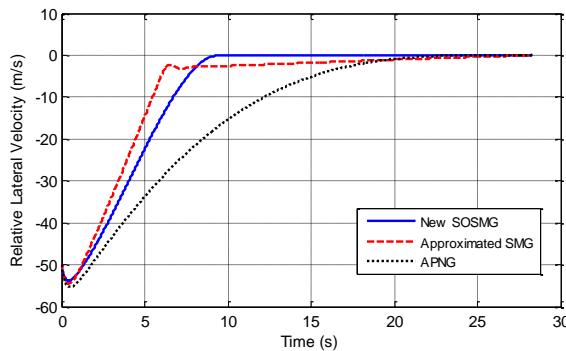
پیشنهادی بر خلاف ناوبری تناسبی افزوده به به اندازه گیر و یا محاسبات پیچیده تخمین مانور هدف نیازی نبوده بنابراین منجر به کاهش هزینه در پیاده سازی قانون هدایت می شود. نمودار مسیر برخورد رهگیر با هدف نیز نشان می دهد که در این سناریو هر سه قانون هدایت رهگیر را قادر به برخورد با هدف می سازند. اگرچه هر سه قانون هدایت برخورد با هدف را تضمین می کنند اما کاهش دقت می تواند در عمل با وارد شدن خطا و نویزهای دیگر منجر به کاهش کارایی قانون هدایت شود. اطلاعات ثبت شده در این سناریو در جدول (۲) مشاهده می شود. در این سناریو روش پیشنهادی نسبت به دو روش دیگر انرژی کمتری نیاز داشته و پیک شتاب در آن کوچکتر از پیک شتاب جانبی رهگیر در هدایت مد لغزشی تقریب زده شده می باشد. همچنین روش پیشنهادی منجر به کاهش مدت زمان برخورد با هدف می گردد.



شکل ۶: منحنی تغییرات شتاب جانبی رهگیر در سناریوی درگیری اول



شکل ۷: منحنی تغییرات نرخ چرخش خط دید در سناریوی درگیری اول



شکل ۸: منحنی تغییرات سرعت نسبی جانبی (متغیر لغزش) در سناریوی درگیری اول

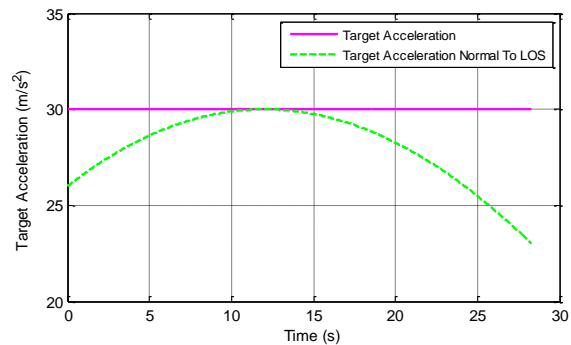
اندازه گیری بوده و فراهم است. دستور شتاب در قانون هدایت مد لغزشی تقریب زده شده به صورت زیر است:

$$A_c = \frac{1}{\cos(\gamma_m - \lambda)} (-\dot{R}\dot{\lambda}) + (\alpha + \eta) \text{Tanh}\left(\frac{\dot{\lambda}}{\epsilon}\right) \quad (۳۷)$$

عملکرد قوانین هدایت در دو سناریوی درگیری بررسی می شود. تفاوت این سناریوها در نوع مانور هدف می باشد. در سناریوی اول هدف با شتاب جانبی ثابت ۳۰ متر بر مجذور ثانیه و در سناریوی دوم با شتاب جانبی سینوسی با دامنه ۳۰ متر بر مجذور ثانیه پرواز می کند.

۵-۱ سناریوی درگیری اول

در این سناریو هدف با شتاب جانبی ۳۰ متر بر مجذور ثانیه پرواز می کند. نمودار شتاب جانبی هدف و همچنین مولفه شتاب هدف در راستای عمود بر خط دید در شکل (۵) رسم گردیده است.



شکل ۵: شتاب جانبی هدف در سناریوی اول

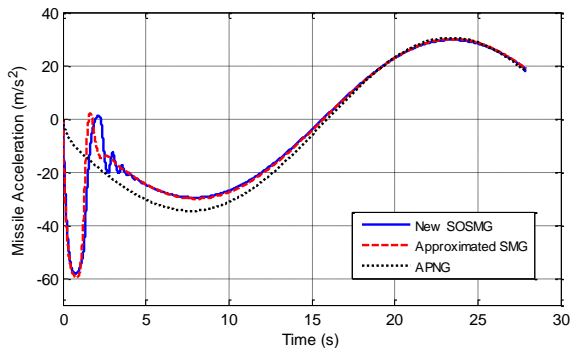
مقادیر بهره های موجود در قوانین هدایت نیز در این سناریو در جدول (۱) درج گردیده است.

جدول ۱: مقادیر بهره های موجود در قوانین هدایت در سناریوی اول

N	ε	η	α	k <sub>3</sub>	k <sub>2</sub>	k <sub>1</sub>	قانون هدایت
-	-	-	۳۰	۱	۲	۴	New SOSMG
-	۰,۰۰۱	۱۰	۳۰	-	-	-	ASMG
۴	-	-	-	-	-	-	APN

منحنی های شتاب جانبی رهگیر در سناریوی درگیری اول در شکل (۶)، نرخ چرخش خط دید در شکل (۷)، سرعت نسبی جانبی در شکل (۸) و مسیر برخورد رهگیر با هدف در شکل (۹) رسم گردیده است. همانطور که در این شکل ها مشاهده می گردد، رهگیر با استفاده از قانون هدایت پیشنهادی نسبت به قانون هدایت مد لغزشی تقریب زده شده شتاب جانبی با بیشینه اندازه کمتری داشته و با دقت بیشتری قادر به صفر کردن متغیرهای نرخ چرخش خط دید و سرعت نسبی جانبی (متغیر لغزش) می باشد. این افزایش دقت به دلیل عدم استفاده از تقریب در روش پیشنهادی می باشد. اما تقریب در مد لغزشی تقریب زده شده منجر به کاهش دقت در صفر کردن متغیرهای مذکور می شود. عملکرد قانون هدایت پیشنهادی در مقایسه با ناوبری تناسبی افزوده به دلیل مقاوم بودن در مقابل مانور هدف قابل قبول است. قابل ذکر است که در قانون هدایت

قانون هدایت رهگیر را قادر به برخورد با هدف می‌سازند. مقادیر درج شده در جدول (۴) کاهش انرژی مورد نیاز در روش پیشنهادی نسبت به هدایت مد لغزشی تقریب زده را نشان می‌دهد. در این سناریو ناوبری تناسبی افزوده بهترین عملکرد را داشته و البته این قانون هدایت نیازمند اندازه گیری و یا تخمین شتاب جانبی هدف در راستای عمود بر خط دید است که در دو قانون هدایت دیگر به صورت نامعینی فرض می‌شود.



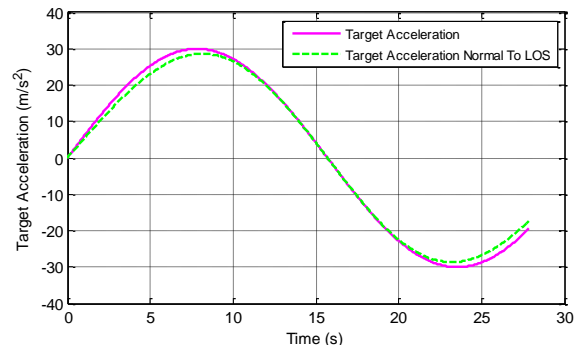
شکل ۹: منحنی مسیر برخورد رهگیر به هدف در سناریوی درگیری اول

جدول ۲: اطلاعات ثبت شده در سناریوی درگیری اول

قانون هدایت	انرژی کنترلی	زمان برخورد	پیک شتاب
New SOSMG	۲۹۲۰۰	۲۸,۳	۴۰
ASMG	۲۹۴۰۰	۲۸,۳	۴۲
APN	۲۹۷۰۰	۲۸,۳۶	۳۸

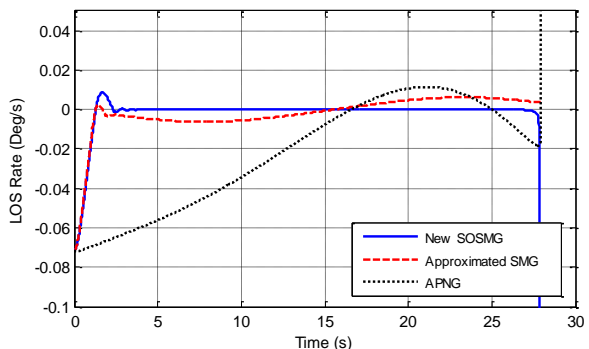
۲-۵ سناریوی درگیری دوم

در این سناریو هدف با شتاب جانبی سینوسی با دامنه ۳۰ متر بر مجذور ثانیه پرواز می‌کند. نمودار شتاب جانبی هدف در شکل (۱۰) و مقادیر بهره‌های موجود در قوانین هدایت در جدول (۱) دیده می‌شود.

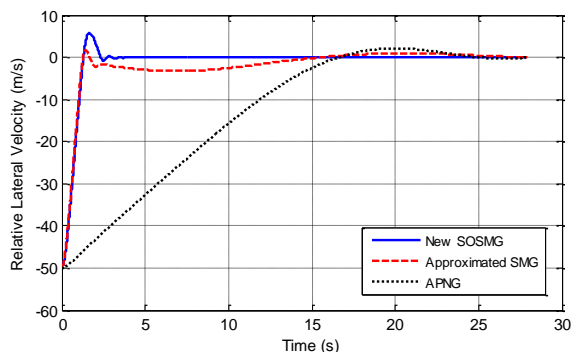


شکل ۱۰: شتاب جانبی هدف در سناریوی دوم

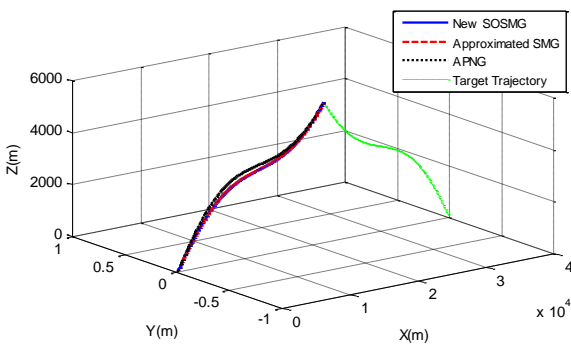
شکل ۱۱: منحنی تغییرات شتاب جانبی رهگیر در سناریوی درگیری دوم



شکل ۱۲: منحنی تغییرات نرخ چرخش خط دید در سناریوی درگیری دوم



شکل ۱۳: منحنی تغییرات سرعت نسبی جانبی در سناریوی درگیری دوم



شکل ۱۴: منحنی مسیر برخورد رهگیر به هدف در سناریوی درگیری دوم

جدول ۳: مقادیر بهره‌های موجود در قوانین هدایت در سناریوی دوم

قانون هدایت	$k_1$	$k_2$	$k_3$	$\alpha$	$\eta$	$\varepsilon$	$N$
New SOSMG	۱۰	۱۰	۵	۳۰	-	-	-
ASMG	-	-	-	۳۰	۳۰	۰,۰۰۰۲	-
APN	-	-	-	-	-	-	۴

منحنی‌های مربوطه در این سناریو در شکل‌های (۱۱) تا (۱۴) رسم گردیده است. مشاهده می‌گردد که در این سناریو نیز رهگیر با استفاده از قانون هدایت پیشنهادی نسبت به قانون هدایت مد لغزشی تقریب زده شده شتاب جانبی با بیشینه اندازه کمتری داشته و با دقت بیشتری نسبت به هر دو قانون هدایت دیگر قادر به صفر کردن متغیرهای نرخ چرخش خط دید و سرعت نسبی جانبی (متغیر لغزش) است. این افزایش دقت به دلیل عدم استفاده از تقریب در روش پیشنهادی می‌باشد. اما تقریب در مد لغزشی تقریب زده شده و مانور پیچیده هدف در ناوبری تناسبی افزوده منجر به کاهش دقت در صفر کردن متغیرهای مذکور می‌شود. نمودار مسیر برخورد رهگیر با هدف نشان می‌دهد که در این سناریو نیز هر سه



- [9] Kumar, Sh. R., Rao, S., and Ghose, D., "Nonsingular Terminal Sliding Mode Guidance with Impact Angle Constraints", *Journal of Guidance, Control, And Dynamics*, Vol. 37, No. 4, July–August 2014, pp. 1114-1130.
- [10] Fridman, L., Moreno, J., and Iriarte, R., *Sliding Modes after the First Decade of the 21st Century*, Springer, 2011
- [11] Levant, A., and Michael, A., "Adjustment of high-order sliding-mode controllers", *International Journal of Robust and Nonlinear Control*, 19, 2009, pp.1657–1672.
- [12] Levant, A., "Principles of 2-slidingmode design", Elsevier, *Automatica*, 43, pp. 576 – 586, 2007.
- [13] Ferrara, A., and Rubagotti, M., "A Sub-Optimal Second Order Sliding Mode Controller for Systems With Saturating Actuators", *IEEE Transactions on Automatic Control*, Vol. 54, No. 5, MAY 2009, pp. 1082-1087.
- [14] Bartolini, W G., Pisano, A., Usai, E., "On the second-order sliding mode control of nonlinear systems with uncertain control direction", Elsevier, *Automatica*, 45, 2009, pp. 2982\_2985.
- [15] Polyakov A., and Poznyak, A., "Reaching Time Estimation for "Super-Twisting" Second Order Sliding Mode Controller via Lyapunov Function Designing", *IEEE Transactions on Automatic Control*, Vol. 54, No. 8, 2009, pp. 1951- 1955.
- [16] Utkin, V. I., Poznyak, A. S., "Adaptive sliding mode control with application to super-twist algorithm: Equivalent control method", Elsevier, *Automatica*, 49, 2013, pp. 39–47.
- [17] Shtessel, Y., Taleb, M., Plestan, F., "A novel adaptive-gain super twisting sliding mode controller: Methodology and application", Elsevier, *Automatica*, 48, 2012, pp. 759–769.
- [18] Shtessel, Y. B., Shkolnikov, I. A., and Levant, A., "Smooth second-order sliding modes: Missile guidance application," *Automatica*, No. 43, 2007, pp. 1470 – 1476.

[۱۹] بهنام گل، وحید، محمدزمان، ایمان، ولی، احمدرضا، قهرمانی، نعمت  
 ..... "طراحی قانون هدایت با استفاده از کنترل مد لغزشی مرتبه دوم  
 زمان محدود"، *مجله کنترل*، جلد ۵، شماره ۳، پاییز ۱۳۹۰، صفحه ۳۶-۴۴.

جدول ۴: اطلاعات ثبت شده در سناریوی درگیری دوم

پیک شتاب	زمان برخورد	انرژی کنترلی	قانون هدایت
۵۸,۵	۲۷,۹	۱۶۷۸۰	New SOSMG
۵۸,۹	۲۷,۹	۱۶۸۶۰	ASMG
۳۵	۲۷,۹	۱۶۶۶	APN

## ۶- نتیجه گیری

در این مقاله الگوریتم نوینی در حوزه مد لغزشی مرتبه بالا ارائه گردید که پایداری دسته‌ای از سیستم‌های غیرخطی و نامعین را تضمین می‌کند. اثبات پایداری در این الگوریتم در حضور نامعینی به صورت تحلیلی و به روش لیاپانوف صورت گرفت که در الگوریتم‌های قبلی چنین اثباتی وجود نداشت. الگوریتم پیشنهادی برای طراحی قانون هدایت دو بعدی مورد استفاده قرار گرفت. نتایج شبیه‌سازی افزایش دقت قانون هدایت طراحی شده را نسبت به قانون هدایت مقاوم مد لغزشی تقریب زده شده نشان می‌دهد. عملکرد قانون هدایت پیشنهادی که در مقابل اهداف مانوردار مقاوم است، در مقایسه با ناوبری تناسبی افزوده که به اندازه‌گیری و یا تخمین مانورهای هدف نیاز دارد، قابل قبول می‌باشد.

## مراجع

- [1] Siouris, G., *Missile Guidance and Control Systems*, Springer, 2005.
- [2] Zarchan, P., *Tactical and Strategic Missile Guidance*, AIAA Series, Sixth Edition, Vol. 239, 2012.
- [۳] بهنام گل، وحید، قهرمانی، نعمت .....، "طراحی یک الگوریتم نوین هدایت تناسبی با استفاده از کنترل مد لغزشی"، فصلنامه مکانیک هوافضا (دینامیک، ارتعاشات و کنترل)، جلد ۱۰، شماره ۱، بهار ۱۳۹۳، صفحه ۷۷-۸۶.
- [4] Slotine, J. J. E., and Li, W., *Applied Nonlinear Control*, Prentice-Hall, Upper Saddle River, NJ, 1991, pp. 276-309.
- [5] Khalil, H. K., *Nonlinear Systems*, Third Edition, Prentice-Hall, Upper Saddle River, 2002, pp. 552-578.
- [6] Sun, Sh., Zho, D., Hou, W., "A guidance law with finite time convergence accounting for autopilot lag", Elsevier, *Aerospace Science and Technology*, 25, 2013, pp. 132–137.
- [7] Yeh, F. K., "Adaptive-sliding-mode guidance law design for missiles with thrust vector control and divert control system", *IET Control Theory Appl.*, 2012, Vol. 6, No. 4, pp. 552–559.
- [8] Rao, S., and Ghose, D., "Terminal Impact Angle Constrained Guidance Laws Using Variable Structure Systems Theory", *IEEE Transactions on Control System Technology*, Vol. 21, No. 6, 2013, pp. 2350-2359.

